



定されたこれらの結果(Run Rシリーズ)を先の実験結果(Run Lシリーズ)と比較して図2~5に示した。これによると衝突間距離は若干増加し、 $\{X\}$ 、 $\{T\}$ の分布はやや規則正しくなっている(変動係数が減少)ことが認められる。この衝突前後の砂粒子速度 $\{V_x\}$ 、 $\{V_y\}$ についても、平均値、変動係数、分布を調べ、やはり先の実験結果<sup>1)</sup>と比較対照して図6~9に示した。これによると摩擦速度 $v_f$ が無次元化された平均粒子速度は衝突前後とも前の結果<sup>1)</sup>に比べ若干増加しているものに対し、変動係数は約7割程度に減少している。但し、掃流力の大小にかかわらず衝突によって粒子速度は半減、その変動係数は1.5~2倍に増加しており、掃流力にかかわらずない掃流運動の本質的構造が認められる。ただ、掃流力の増加によって若干現象のばらつき(不規則性)はおさえられる傾向にあると言えよう。

#### 流れ過程の特徴 今回の解析でも(運動方程式による記述が比較的容易と考えられる)衝突を伴わない流送過程の運動特性を調べた。図10に初期移動から最初の衝突までの速度変化のアンサンブル平均を示したが、これによると、運動形式云々よりも粒子数密度増のための遮蔽効果による駆動力減少(たとえば抗流係数 $C_D$ の減少)が重要と考えられ、個々の粒子一つ一つの運動を記述する際も周囲の移動粒子の影響を考えねばならないことが示唆される。

また衝突間の速度の条件付変動係数の変化は図11、12に示される。衝突の作用を受けない粒子速度の変動係数はかなり小さく、とくに図12からわかるように衝突によって不規則性を倍加され、変動の大きさを粒子の速度も流送中に規則化小さくなることがわかる。

あとがき 本報では先の論文<sup>2)</sup>に対する補足として掃流力が大きくてしかも平坦河床である場合の掃流砂れきの不規則運動性状の内因構造の検討を行った。この結果、掃流力が大きくなると種々の量の不規則性はやや弱まる(たとえば図13に示すようにstep lengthの変動係数が減少する)ものの、かなりの程度

の不規則性は残りおり、こうした不規則性が掃流運動の本質的特徴であると考えることができ、著者らが先の論文<sup>2)</sup>で提示した掃流砂モデルのフレームワークは掃流力の大きい場にもなおかつ有効であると言える。

参考文献 1) Nakagawa et al. Proc. 3rd I.S.S.H.B-4, 1980.  
2) 中川・近本・細川: 槍太防災研究報 22-B, 1979.  
3) 近本: 槍太大学位論文第6章, 1978.

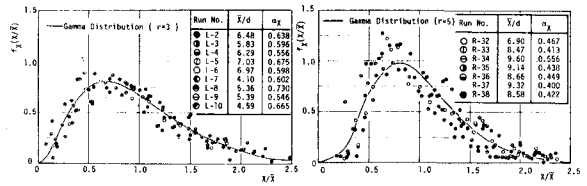


Fig. 4

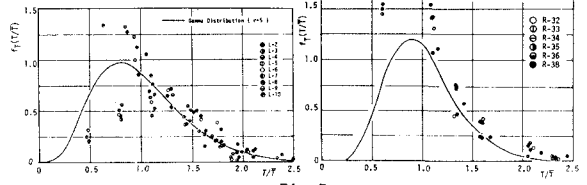


Fig. 5

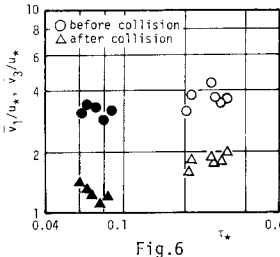


Fig. 6

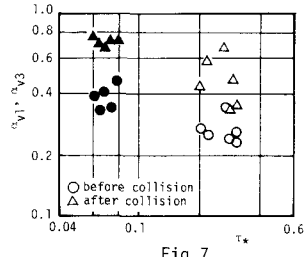


Fig. 7

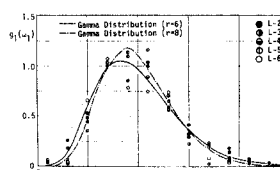


Fig. 8

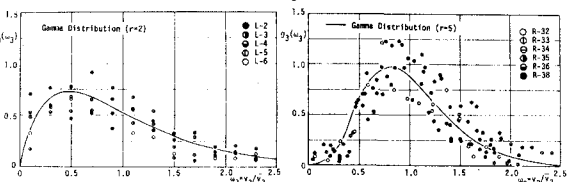


Fig. 9

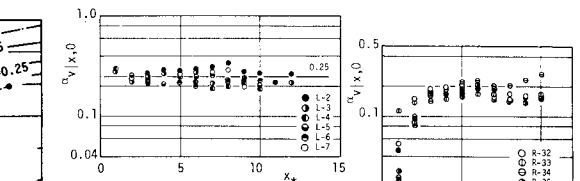


Fig. 11

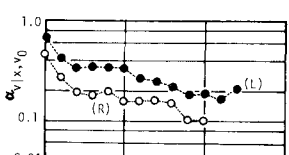


Fig. 12

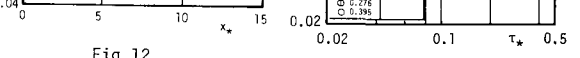


Fig. 13